

การนำบัดน้ำเสียด้วยระบบบำบัดน้ำเสียแบบชลินทรัพเพื่อควบคุมและรักษาตัวกลางยึดเกาะ

คุณภา คำเพชร

วิทยานิพนธ์นี้เป็นส่วนหนึ่งของการศึกษาตามหลักสูตรปริญญาวิทยาศาสตร์มหาบัณฑิต

สาขาวิทยาศาสตร์สิ่งแวดล้อม

บัณฑิตวิทยาลัย มหาวิทยาลัยบูรพา

พฤษภาคม 2548

ISBN 974-502-447-3

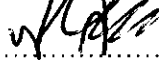
ลิขสิทธิ์เป็นของมหาวิทยาลัยบูรพา

อาจารย์ผู้ควบคุมวิทยานิพนธ์และคณะกรรมการสอบปากเปล่าวิทยานิพนธ์ ได้พิจารณา
วิทยานิพนธ์ของ ดุจนภา กำเพชร ฉบับนี้แล้ว เห็นสมควรรับเป็นส่วนหนึ่งของการศึกษาตามหลักสูตร
ปริญญาวิทยาศาสตร์มหาบัณฑิต สาขาวิชาวิทยาศาสตร์สิ่งแวดล้อม ของมหาวิทยาลัยบูรพาได้

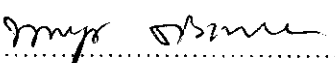
อาจารย์ผู้ควบคุมวิทยานิพนธ์

.....ประธาน

(ดร.กรประภา เกเรวัลย์)

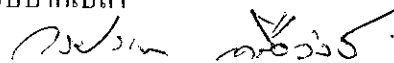
.....กรรมการ

(ผู้ช่วยศาสตราจารย์ ดร.พิชาญ สว่างวงศ์)

.....กรรมการ

(ผู้ช่วยศาสตราจารย์ ดร.นงนุช ตั้งเกริกโภพ)

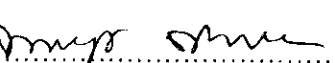
คณะกรรมการสอบปากเปล่า

.....ประธาน

(ดร.กรประภา เกเรวัลย์)

.....กรรมการ

(ผู้ช่วยศาสตราจารย์ ดร.พิชาญ สว่างวงศ์)

.....กรรมการ

(รองศาสตราจารย์ ดร.นงนุช ตั้งเกริกโภพ)

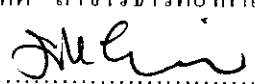
.....กรรมการ

(รองศาสตราจารย์ ดร.วรวิทย์ ชีวพร)

.....กรรมการ

(ผู้ช่วยศาสตราจารย์ ดร.สมฤติ จริตควร)

บันทึกวิทยาลัยอนุมัติให้รับวิทยานิพนธ์ฉบับนี้เป็นส่วนหนึ่งของการศึกษาหลักสูตร
ปริญญาวิทยาศาสตร์มหาบัณฑิต สาขาวิชาวิทยาศาสตร์สิ่งแวดล้อม ของมหาวิทยาลัยบูรพา

.....คณบดีบันทึกวิทยาลัย

(รองศาสตราจารย์ ดร.ประทุม ม่วงมี)

วันที่ ๖ เดือน พฤษภาคม พ.ศ. 2548

การวิจัยนี้ได้รับทุนอุดหนุนวิทยานิพนธ์ ระดับบัณฑิตศึกษา
จากบัณฑิตวิทยาลัย มหาวิทยาลัยนูรพา
ประจำภาคปลาย ปีการศึกษา 2547

ประกาศคุณูปการ

วิทยานิพนธ์นี้ได้รับทุนสนับสนุนบางส่วนจาก โครงการบัณฑิตศึกษา ฝึกอบรมและวิจัย ด้านวิทยาศาสตร์เทคโนโลยีและการบริหารจัดการ สิ่งแวดล้อม ภายใต้การกำกับของโครงการ พัฒนาบัณฑิตศึกษา และวิจัยด้านวิทยาศาสตร์และเทคโนโลยี สำนักงานคณะกรรมการการอุดมศึกษา กระทรวงศึกษาธิการ

วิทยานิพนธ์เล่มนี้สำเร็จลงได้ด้วยดี เนื่องจากได้รับความกรุณาจาก ดร.กรประภา เครือวัลย์ ที่เป็นประธานควบคุมวิทยานิพนธ์ อย่างให้คำปรึกษา แนะนำ และช่วยแก้ไขปัญหา ข้อบกพร่องต่าง ๆ ด้วยความละเอียดถี่ถ้วน ซึ่งทำให้ผู้วิจัยได้รับความรู้ แนวความคิด ประสบการณ์ที่ดีในการทำวิทยานิพนธ์ครั้งนี้ จึงขอกราบขอบพระคุณอย่างสูง

ขอขอบพระคุณ ผศ.ดร.พิชาญ สว่างวงศ์ ผศ.ดร.นงนุช ตั้งเกริกโภพ และ คณะกรรมการสอนปากเปล่า ที่ได้กรุณาให้ข้อเสนอแนะต่าง ๆ ที่เป็นประโยชน์ทั้งในการทดลอง และคำแนะนำในการปรับปรุงแก้ไขวิทยานิพนธ์ ซึ่งทำให้วิทยานิพนธ์เล่มนี้สมบูรณ์ยิ่งขึ้น

ขอขอบคุณคณาจารย์และเจ้าหน้าที่ห้องปฏิบัติการภาควิชาชีวเคมี มหาวิทยาลัยมูรพา ที่เอื้อเพื่อเกี่ยวกับอุปกรณ์ เครื่องมือสำหรับทำการวิจัย และขอขอบคุณเจ้าหน้าที่ของระบบนำบัค นำเสียงเทคนิคและเทคโนโลยีเมืองพัทยา ในการช่วยเหลือและเก็บน้ำเสียตัวอย่าง

และขอขอบใจเพื่อน ๆ ปริญญาตรี สาขาวิชานุรักษ์ และปริญญาโท วิทยาศาสตร์ สิ่งแวดล้อม รวมทั้งท่านอื่น ๆ ที่มีได้อ่านมาในที่นี้ ที่มีส่วนช่วยให้กำลังใจและช่วยเหลือเสมอมา ประโยชน์ของวิทยานิพนธ์เล่มนี้ ขอขอบให้บิดา และมารดา ที่ช่วยส่งสอนอบรมเลี้ยงดู สั่งสอน สิ่งที่ดีงามแก่ผู้วิจัย

คุณภา คำเพชร

42911546: สาขา: วิทยาศาสตร์สิ่งแวดล้อม; วท.ม. (วิทยาศาสตร์สิ่งแวดล้อม)

คำสำคัญ: ชาตุอุหาหาร/ ฟิล์มชีวภาพ/ ไนติฟิเคชัน/ ดีไนติฟิเคชัน/ แอนอกซิก

คุณว่า คำเพชร: การบำบัดน้ำเสียด้วยระบบบำบัดน้ำเสียแบบจุลินทรีย์แขวนลอยและจุลินทรีย์บนตัวกลางยึดเกาะ (WASTEWATER TREATMENT BY SUSPENDED GROWTH AND BIOFILM SUSPENDED CARRIER SYSTEM) อาจารย์ผู้ควบคุมวิทยานิพนธ์:

กรประภา เครือวัลย์, Ph.D., พิชาญ สว่างวงศ์, Ph.D., นงนุช ตั้งเกริกโภพ, Ph.D. 98 หน้า.

ปี พ.ศ. 2548. ISBN 974-502-447-3

การศึกษาวิจัยครั้งนี้มีวัตถุประสงค์เพื่อศึกษาประสิทธิภาพของการบำบัดน้ำเสียของจุลินทรีย์แบบเคลื่อนที่โดยอิสระและจุลินทรีย์แบบที่มีตัวยึดเกาะในระบบบำบัดน้ำเสียจำลองแบบ SCAS SBR และBSC ซึ่งตัวกลางที่นำมาศึกษาระบบนี้ คือ โรล์ม้วนผม ออกซิบูล ไนไฟ ไมร์ร่า รังนวน และหลอด ระยะเวลาทำการทดลองทั้งสิ้น 100วัน โดยมีการควบคุมค่า MLSS ของแต่ละระบบให้อยู่ระหว่าง 1500-2000 มิลลิกรัมต่อลิตร พารามิเตอร์ที่ทำการศึกษาคือค่าซีโอดี ชีวมวล แอมโมเนีย-ใน ไตรเจน ในไตรเจน ในเตรท-ใน ไตรเจน และօโซฟอสเฟต-ฟอสฟอรัส

ผลการวิจัยพบว่า ระบบบำบัดน้ำเสียแบบ SCAS SBR และBSC สามารถบำบัดซีโอดี เคลื่อนได้ประมาณ 98% 94% และ95% ตามลำดับ ส่วนการบำบัดในไตรเจนพบว่า ระบบบำบัดน้ำเสียแบบ SCAS และSBR ไม่สามารถบำบัดค่าไนไตรเจนได้ เมื่อจากในระบบมีการสะสมปริมาณ ในเตรท-ใน ไตรเจนอยู่ในปริมาณมาก ซึ่งระบบบำบัดน้ำเสียแบบ SBR เกิดปฏิกิริยาไนติฟิเคชัน อย่างไม่สมบูรณ์ ทำให้ระบบมีการสะสมค่าไนไตร-ใน ไตรเจนสูง แต่ระบบบำบัดน้ำเสียแบบ BSC เกิดปฏิกิริยาไนติฟิเคชันและดีไนติฟิเคชันควบคู่กัน ทำให้สามารถบำบัดปริมาณไนไตรเจนได้ จากการวิจัยพบว่า ตัวกลางแต่ละชนิดมีประสิทธิภาพการบำบัดน้ำเสียแตกต่างกัน โดยวันสุดท้ายของการทดลองมีค่าเฉลี่ยการบำบัดในไตรเจนดังนี้ โรล์ม้วนผมมีค่าเฉลี่ยความเข้มข้นของ แอมโมเนีย-ใน ไตรเจน ในไตรเจน ในไตรเจน และในเตรท-ใน ไตรเจนต่ำกว่า 20 0.5 และ3 มิลลิกรัมต่อลิตร ตามลำดับ ออกซิบูลมีค่าเฉลี่ยต่ำกว่า 18 0.5 และ15 มิลลิกรัมต่อลิตรตามลำดับ ไม่ไฟมีค่าเฉลี่ย ต่ำกว่า 20 0.5 และ10 มิลลิกรัมต่อลิตร ตามลำดับ ไมร์ร่ามีค่าเฉลี่ยต่ำกว่า 20 0.5 และ2 มิลลิกรัมต่อลิตร ตามลำดับ รังนวนมีค่าเฉลี่ยต่ำกว่า 20 0.5 และ15 มิลลิกรัมต่อลิตร ตามลำดับ และหลอดมีค่าเฉลี่ยต่ำกว่า 15 0.5 และ15 มิลลิกรัมต่อลิตร ตามลำดับ ซึ่งระบบบำบัดน้ำเสียทั้ง 3 แบบไม่สามารถบำบัดค่าฟอสฟอรัสได้ เมื่อสิ้นสุดการทดลองจึงมีค่าความเข้มข้นของ ฟอสฟอรัสเท่ากัน 100 มิลลิกรัมต่อลิตร และตัวกลางที่เหมาะสมสำหรับการยึดเกาะของจุลินทรีย์มากที่สุดคือ รังนวน ซึ่งมีปริมาณของจุลินทรีย์ที่เริ่มนุนตัวกลามมากที่สุด

42911546: MAJOR: ENVIRONMENTAL SCIENCE;
M.Sc. (ENVIRONMENTAL SCIENCE)

KEYWORDS: NUTRIENT/ BIOFILM/ NITRIFICATION/ DENITRIFICATION/ ANOXIC
DUJNAPHA KOMPETCH: WASTEWATER TREATMENT BY SUSPENDED
GROWTH AND BIOFILM SUSPENDED CARRIER SYSTEM. THESIS ADVISORS:
KORNPRABHA KRUAWAL, Ph.D., PICHAN SAWANGWONG, Ph.D., NONGNUD
TANGKROCK-OLAN, Ph.D. 98 P. 2005. ISBN 974-502-447-3

The objective of this research was to determine the efficiency of wastewater treatment by suspended growth and biofilm suspended carrier system. Carriers used for this experiment were root, oxyball, bamboo chip, salaca wood chip, loofah, and straw. The experiment time was 100 days. The MLSS was maintained between 1,500-2,000 mg/l in each system during the experiment. COD, biomass, ammonia-nitrogen($\text{NH}_4\text{-N}$), nitrite-nitrogen($\text{NO}_2\text{-N}$), nitrate-nitrogen($\text{NO}_3\text{-N}$), and orthophosphate-phosphorus(PO_4^3-P) were analyzed.

The result showed that Semi-Continuouse Activated Sludge(SCAS), Sequencing Batch Reactor(SBR) and Biofilm Suspended Carrier(BSC) had the COD removal efficiency average about 98%, 94%, and 95%, respectively. SCAS and SBR system could not remove nitrogen in wastewater. It was found the $\text{NO}_3\text{-N}$ accumulated in the SCAS and SBR system. The nitrification reaction was not complete in the SBR system and nitrogen had accumulated in the system as well. In BSC system, both nitrification and denitrification occurred, so this system could remove the nitrogen from the wastewater. In addition, the result was that each carriers had different treatment efficiency. During 10 weeks of experimentation, roll showed that the average reduction in the efficiency of $\text{NH}_4\text{-N}$, $\text{NO}_2\text{-N}$, and $\text{NO}_3\text{-N}$ was below 20, 0.5, and 3 mg/l, respectively. Oxyball had removal efficiency below 18, 0.5 and 15 mg/l, respectively while The removal efficiency of bamboo chip were lower than 20, 0.5, and 10 mg/l, respectively. The reduction efficiencies in salaca wood chip were lower than 20, 0.5 and 2 mg/l, respectively while loofah were lower than 15, 0.5, and 15 mg/l, respectively and in straw were lower than 15, 0.5, and 15 mg/l, respectively. However, the SCAS SBR and BSC system could not reduce phosphorus. The concentration of phosphorus was constant at 100 mg/l during the experimentation. In addition, loofah gave the promise carrier to treat the wastewater because it provided the highest surface area for microbial attachment.

สารบัญ

หน้า

บทคัดย่อภาษาไทย.....	๑
บทคัดย่อภาษาอังกฤษ.....	๒
สารบัญ.....	๓
สารบัญตาราง.....	๔
สารบัญภาพ.....	๕
บทที่	
1 บทนำ.....	1
ความเป็นมาและความสำคัญของปัญหา.....	1
วัตถุประสงค์ของการวิจัย.....	3
สมมติฐานของการวิจัย.....	3
ประโยชน์ที่คาดว่าจะได้รับจากการวิจัย.....	3
ขอบเขตของการวิจัย.....	4
สถานที่และระยะเวลาทำการวิจัย.....	4
2 เอกสารและงานวิจัยที่เกี่ยวข้อง.....	5
ระบบนำน้ำดื่มน้ำเสียที่ทำการศึกษา.....	5
การกำจัดสารอาหารในน้ำเสียทางชีวภาพ.....	12
งานวิจัยที่เกี่ยวข้อง.....	16
3 วิธีดำเนินการวิจัย.....	23
อุปกรณ์เครื่องมือและสารเคมี.....	23
การดำเนินการทดลอง.....	25
4 ผลการทดลอง.....	30
การกำจัดในไทรเจนและอินทรีย์สาร.....	30
การกำจัดฟอสฟอรัส.....	46
การเจริญเติบโตของจุลินทรีย์บนตัวกลางยีดเกร.....	49

สารบัญ (ต่อ)

	หน้า
บทที่	
๕ อภิปรายและสรุปผล.....	57
อภิปรายผล.....	57
สรุปผลการวิจัย.....	66
บรรณานุกรม.....	67
ภาคผนวก.....	72
ภาคผนวก ก.....	73
ภาคผนวก ข.....	89
ประวัติย่อของผู้วิจัย.....	98

สารบัญตาราง

ตารางที่	หน้า
1 วิธีกำจัดในโตรเจนและฟอสฟอรัสในน้ำเสียโดยวิธีทางชีวภาพ.....	14
2 ค่าเฉลี่ยและค่าเบี่ยงเบนมาตรฐานของแอมโมเนีย ในไตร์ท ไนเตรท ซีโอดี และ ออโรฟอสเฟตในระบบบำบัดน้ำเสียแบบ SCAS (n = 3).....	90
3 ค่าเฉลี่ยและค่าเบี่ยงเบนมาตรฐานของแอมโมเนีย ในไตร์ท ไนเตรท ซีโอดี และ ออโรฟอสเฟตในระบบบำบัดน้ำเสียแบบ SBR (n = 3).....	91
4 ค่าเฉลี่ยและค่าเบี่ยงเบนมาตรฐานของแอมโมเนีย ในไตร์ท ไนเตรท ซีโอดี และ ออโรฟอสเฟตในระบบบำบัดน้ำเสียแบบ BSC ชนิดโลหะมวนผม (n = 3).....	92
5 ค่าเฉลี่ยและค่าเบี่ยงเบนมาตรฐานของแอมโมเนีย ในไตร์ท ไนเตรท ซีโอดี และ ออโรฟอสเฟตในระบบบำบัดน้ำเสียแบบ BSC ชนิดออกซิบอล (n = 3).....	93
6 ค่าเฉลี่ยและค่าเบี่ยงเบนมาตรฐานของแอมโมเนีย ในไตร์ท ไนเตรท ซีโอดี และ ออโรฟอสเฟตในระบบบำบัดน้ำเสียแบบ BSC ชนิดไม่ไฝ (n = 3).....	94
7 ค่าเฉลี่ยและค่าเบี่ยงเบนมาตรฐานของแอมโมเนีย ในไตร์ท ไนเตรท ซีโอดี และ ออโรฟอสเฟตในระบบบำบัดน้ำเสียแบบ BSC ชนิดไม่มีระกำ (n = 3).....	95
8 ค่าเฉลี่ยและค่าเบี่ยงเบนมาตรฐานของแอมโมเนีย ในไตร์ท ไนเตรท ซีโอดี และ ออโรฟอสเฟตในระบบบำบัดน้ำเสียแบบ BSC ชนิดรังบวน (n = 3).....	96
9 ค่าเฉลี่ยและค่าเบี่ยงเบนมาตรฐานของแอมโมเนีย ในไตร์ท ไนเตรท ซีโอดี และ ออโรฟอสเฟตในระบบบำบัดน้ำเสียแบบ BSC ชนิดหลอด (n = 3).....	97

สารบัญภาพ

ภาพที่	หน้า
1 ขั้นโดยย้ำสารอินทรีย์ผ่านเข้าภายในเซลล์.....	6
2 ขั้นเกิดฟลีอกในระบบ Activated Sludge.....	7
3 แบบจำลองระบบบำบัดน้ำเสียแบบ Sequencing Batch Reactor.....	8
4 ตักษณะของตัวกลางชนิดต่าง ๆ	10
5 ตักษณะตัวกลางแบบ Kaldnes.....	11
6 ตัวกลางที่มีแผ่นฟิล์มชีวภาพ.....	11
7 กอกไกของกำจัดฟองสบู่ทางชีวภาพ.....	16
8 วัสดุที่นำมาเป็นตัวกลางยึดเกาะของจุลินทรีย์.....	26
9 ขั้นตอนการทดลองของชุดการทดลองระบบบำบัดน้ำเสียแบบ SCAS.....	27
10 แผนผังขั้นตอนการทำการทดลองระบบบำบัดน้ำเสียแบบ SBR.....	27
11 การเปลี่ยนแปลงค่าความเข้มข้นของซีโอดี แอมโมเนีย-ในไตรเจน ในไตรเจน และในเตรท-ในไตรเจน ในน้ำตัวอย่างจากระบบบำบัดน้ำเสียแบบ SCAS n = 3.....	31
12 การเปลี่ยนแปลงค่าความเข้มข้นของซีโอดี แอมโมเนีย-ในไตรเจน ในไตรเจน และในเตรท-ในไตรเจน ในน้ำตัวอย่างจากระบบบำบัดน้ำเสียแบบ SBR n = 3.....	31
13 การเปลี่ยนแปลงค่าความเข้มข้นของซีโอดี แอมโมเนีย-ในไตรเจน ในไตรเจน และในเตรท-ในไตรเจน ในน้ำตัวอย่างจากระบบบำบัดน้ำเสียแบบ BSC ชนิดโรล์ม้วนพม n = 3.....	35
14 การเปลี่ยนแปลงค่าความเข้มข้นของซีโอดี แอมโมเนีย-ในไตรเจน ในไตรเจน และในเตรท-ในไตรเจน ในน้ำตัวอย่างจากระบบบำบัดน้ำเสียแบบ BSC ชนิดออกซิบอต n = 3.....	37
15 การเปลี่ยนแปลงค่าความเข้มข้นของซีโอดี แอมโมเนีย-ในไตรเจน ในไตรเจน และในเตรท-ในไตรเจน ในน้ำตัวอย่างจากระบบบำบัดน้ำเสียแบบ BSC ชนิดไม้ไผ่ n = 3.....	39
16 การเปลี่ยนแปลงค่าความเข้มข้นของซีโอดี แอมโมเนีย-ในไตรเจน ในไตรเจน และในเตรท-ในไตรเจน ในน้ำตัวอย่างจากระบบบำบัดน้ำเสียแบบ BSC ชนิดไม้ระกำ n = 3.....	41

สารบัญภาพ (ต่อ)

ภาพที่	หน้า
17 การเปลี่ยนแปลงค่าความเข้มข้นของซีโอดี แอน โนมเนีย-ในไตรเจน ในไตรเจน และในเตรท-ในไตรเจน ในน้ำตัวอย่างจากระบบบำบัดน้ำเสียแบบ BSC ชนิดครั้งบวก n = 3.....	43
18 การเปลี่ยนแปลงค่าความเข้มข้นของซีโอดี แอน โนมเนีย-ในไตรเจน ในไตรเจน และในเตรท-ในไตรเจน ในน้ำตัวอย่างจากระบบบำบัดน้ำเสียแบบ BSC ชนิดหลอด n = 3.....	45
19 การเปลี่ยนแปลงค่าความเข้มข้นของอโซฟอสเฟต-ฟอสฟอรัส ในน้ำตัวอย่าง จากระบบบำบัดน้ำเสียชนิด SCAS, SBR และ BSCแบบต่าง ๆ n = 3.....	47
20 เปอร์เซ็นต์การบำบัดอโซฟอสเฟตในระบบบำบัดน้ำเสียที่ทำการศึกษา.....	48
21 การเจริญของจุลินทรีย์บนตัวกลางยึดเกาะชนิด โรล์ม้วนพม ออกซิบอล และไม่ไฟ n = 3.....	50
22 การเจริญของจุลินทรีย์บนตัวกลางยึดเกาะชนิด ไม้ระกำ รังนวด และหลอด n = 3.....	51
23 ลักษณะน้ำตัวอย่างจากระบบบำบัดน้ำเสียหลังการบำบัด.....	53
24 วัสดุที่นำมาเป็นตัวกลางยึดเกาะของจุลินทรีย์หลังเสร็จการทดลอง.....	54
25 ลักษณะตัวกลางยึดเกาะของจุลินทรีย์ในแบบจำลองระบบบำบัดน้ำเสียที่ทำการศึกษา.....	55
26 ลักษณะการเปลี่ยนแปลงในไตรเจนในชั้นฟิล์มจุลินทรีย์.....	61
27 ขั้นตอนการกำจัดฟอสฟอรัสทางชีวภาพ.....	65
28 กราฟสารละลายน้ำตรฐานของแอมโนมเนีย-ในไตรเจน(1).....	74
29 กราฟสารละลายน้ำตรฐานของแอมโนมเนีย-ในไตรเจน(2).....	75
30 กราฟสารละลายน้ำตรฐานของแอมโนมเนีย-ในไตรเจน(2).....	76
31 กราฟสารละลายน้ำตรฐานของไนไตรท-ในไตรเจน(1).....	77
32 กราฟสารละลายน้ำตรฐานของไนไตรท-ในไตรเจน(2).....	78
33 กราฟสารละลายน้ำตรฐานของไนไตรท-ในไตรเจน(3).....	79
34 กราฟสารละลายน้ำตรฐานของไนเตรท-ในไตรเจน(1).....	80
35 กราฟสารละลายน้ำตรฐานของไนเตรท-ในไตรเจน(2).....	81
36 กราฟสารละลายน้ำตรฐานของไนเตรท-ในไตรเจน(3).....	82
37 กราฟสารละลายน้ำตรฐานของไนเตรท-ในไตรเจน(4).....	83

สารบัญภาพ (ต่อ)

ภาพที่	หน้า
38 กราฟสารคละลายมาตรฐานของอ้อโซฟอสเฟต-ฟอสฟอรัส(1).....	84
39 กราฟสารคละลายมาตรฐานของอ้อโซฟอสเฟต-ฟอสฟอรัส(2).....	85
40 กราฟสารคละลายมาตรฐานของซีโอดี(1).....	86
41 กราฟสารคละลายมาตรฐานของซีโอดี(2).....	87
42 กราฟสารคละลายมาตรฐานของซีโอดี(3).....	88